



Kommunikation

Photochrome Eigenschaften einer anorganisch-organischen Verbindung im sichtbaren Licht Dünner Hybridfilm aus Phosphormolybdänsäure und Polythiophen

Zhao Wanqing ¹, Zhao Hongmei ¹, Wei Feng ² und Honggang Zhao 1,*

- Fakultät für Chemie und Chemieingenieurwesen, Xinjiang Normal University, Ürümqi 830054, China Key Lab
- of Groundwater Resources and Environment, Ministry of Education, Jilin University, Changchun 130021, China * Korrespondenz:

xjnu1609@xjnu.edu.cn

Zusammenfassung: Ein photochromer Hybridfilm mit sichtbarem Licht wurde synthetisiert, indem Phosphormolybdänsäure (PMoA) mit einer Polythiophenmatrix (PTh) kombiniert wurde. Die Mikrostruktur und die photochromen Eigenschaften der Materialien wurden mithilfe von Rasterkraftmikroskopie (AFM), Fourier-Transformations- Infrarotspektroskopie (FTIR), Röntgen-Photoelektronenspektroskopie (XPS) und ultraviolettsichtbaren Spektren (UV-vis) analysiert. Laut FTIR-Spektren blieben die Geometrien von PMoA und PTh im Hybridfilm gut erhalten und es besteht eine starke Wechselwirkung an der Schnittstelle von PMoA und PTh. Die XPS-Spektren zeigten die Veränderung der chemischen Mikroumgebung und die Reduktion von Mo6+-Atomen in der Photoreduktionsreaktion . Unter Bestrahlung mit sichtbarem Licht änderte sich der Verbundfilm von transparent zu blau und wurde allmählich dunkler, wodurch Heteropolyblau entstand. Der Hybridfilm zeigt auch Reversibilität in Gegenwart von Sauerstoff. Die Ergebnisse zeigten, dass die photochrome Reaktion nicht mit dem photoinduzierten Elektronentransfermechanismus übereinstimmte .

Schlüsselwörter: Phosphormolybdänsäure, Polythiophen, Photochromie, Hybridfilm



Zitat: Zhao, W.; Zhao, H.; Feng, W.; Zhao, H.
Photochrome Eigenschaften eines
dünnen, anorganischen und organischen
Phosphomolybdänsäure/Polythiophen-Hybridfilms
im sichtbaren Licht. Chemistry 2024, 6, 469–
475. https://doi.org/10.3390/ chemistry6030026

Wissenschaftlicher Redakteur: Matthias Lehmann

Empfangen: 25. April 2024 Überarbeitet: 1. Juni 2024 Akzeptiert: 5. Juni 2024 Veröffentlicht: 7. Juni 2024



Copyright: © 2024 bei den Autoren.
Lizenznehmer MDPI, Basel, Schweiz.
Dieser Artikel ist ein Open Access-Artikel
vertrieben unter den Bedingungen und
Bedingungen der Creative Commons
Namensnennungslizenz (CC BY)
(https:// creativecommons.org/licenses/by/

1. Einleitung

Photochrome Materialien galten als vielversprechender Forschungsschwerpunkt bei Funktionsmaterialien und wurden in den Bereichen optische Informationsspeichermaterialien, photoelektrische Geräte, optische Schalter und biomedizinische Forschung eingesetzt [1–4]. In den letzten Jahren wurden durch die Entwicklung anorganischer/organischer Verbundmaterialien und die Einführung von Selbstassemblierungstechnologie, Templatechemie und anderen Methoden in die Herstellung die photochromen Eigenschaften der Materialien erheblich verbessert, was eine breitere Anwendungsr

Heteropolyoxometallate zählen aufgrund ihrer hohen Oxidationsreduzierbarkeit, hohen Protonenleitfähigkeit und ausgezeichneten Löslichkeit zu den beliebtesten photochromen Materialien [7,8]. Um das Anwendungspotenzial von Heteropolyoxometallaten zu erhöhen, versuchte man, sie in Polymernetzwerke einzuführen, um die physikalischen Eigenschaften der photochromen Materialien wie mechanische Festigkeit, optische Transparenz und Bearbeitbarkeit zu verbessern [9–11]. Heteropolyoxometallate wurden als anionische Ladungsträger in ungeordneten Filmen wie Sol-Gel-Filmen verwendet, indem sie sich über schwache Wechselwirkungen wie Wasserstoffbrücken, elektrostatische Kräfte und Van- der-Waals-Kräfte an kationische Gruppen an organischen Polymerketten binden. Sun und Kollegen [12] synthetisierten einen PMoA/Polyvinylpyrrolidon (PVP) -Hybridfilm und entdeckten, dass die Hauptursache der photochemischen Reaktion der Protonentransfer zwischen PMoA und der PVPd-Matrix war. Die Wechselwirkung von Polyoxometallaten und Polymer über nichtkovalente Bindungen bot einen nützlichen Ansatz zur Verbesserung der physikalischen und chemischen Eigenschaften der anorganischen/organischen photochromen Materialien.

Polythiophen (PTh) hat eine gute photoelektrische Stabilität, gute Filmbildungseigenschaften, eine hohe Leitfähigkeit und eine geringe Bandlückenbreite von 2,02 eV, was ein großes Anwendungspotenzial in der photoelektrischen Chemie bietet. PTh hat ein großes ÿ-konjugiertes Elektronensystem und seine Elektronenabgabefähigkeit ist besser als die von Polypyrrol und Polyanilin. PTh I

Chemie 2024, 6

Polythiophen (PTh) hat eine gute photoelektrische Stabilität, gute Filmbildungseigenschaften, eine hohe Leitfähigkeit und eine geringe Bandlückenbreite von 2,02 eV, was ein großes Anwendungspotenzial in der photoelektrischen Chemie bietet. PTh hat ein großes ÿ-konjugiertes Elektronensystem und seine Elektronenabgabefähigkeit ist besser als die von 470

Polypyrrol und Polyanilin. PTh kann eine Ladungstransferbrücke mit Heteropolyoxometalaten bilden, und Heteropolyoxometalate und PTh-Polyladungstransferbrücke mit Heteropolyoxometalaten, und Heteropolyoxometalate und Polymersubstrate können durch Wasserstoffbrücken verbunden werden. Angesichts dieser Eigenschaften von PTh können hTdieselvansenbaften der Wasserstoffbrücken verbunden werden. Angesichts dieser Eigenschaften von PTh können hTdieselvansenbaften der Wasserstoffbrücken verbunden werden. Angesichts dieser Eigenschaften von PTh können hTdieselvansenbaften der Wasserstoffbrücken werden werden haberstellt dieser dieser die werde ein bie Mikrostrukten die Index di

2. Materialien und Methoden 2. Materialien und Methoden

2.1. Vorbereitung 2.1. Vorbereitung

Posphomolybdänsäure (H3PMo12O40, PMoA) wurde nach sekundärer Rekristallisation wiederverwendet, und die anderen Chemikalien wurden wie erhalten ohne weitere Reinigung verwendet. Die Substrate wurden zunächst in Piranha-Lösung (Schwefelsäure: Wasserstoffperoxid = 7:3) getaucht. Posphomolybdänsäure: (H3PMo12O40, PMoA) wurde nach sekundarer Rekristallisation wiederverwendet, und die anderen Chemikalien wurden wie erhalten ohne weitere Reinigung verwendet. Die Substrate wurden zunächst in Piranha-Lösung (Schwefelsäure: Wasserstoffperoxid = 7:3) volumetrisches Verhältnis) für 1440 min bei 353 k und dann nacheinander mit deionisiertem Wasser gewaschen ver und Ethylalkohol wurden die Substrate und Ethylalkohol mehrmals. Nach wurden weitere Weitere verwen dung in Aceton konserviert.

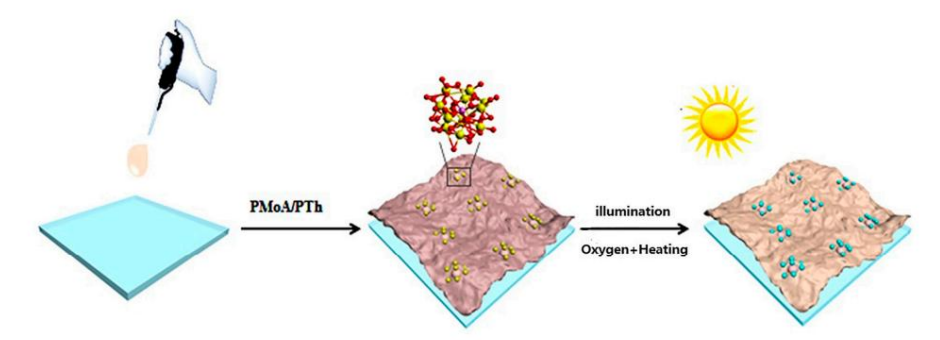


Abbildung 1. Syntheseprozess und photochrome Reaktion.

Abbildung 1 si Synthese prozess und photochrome Reaktion.

2.2. CAFAM-Bilder, der Proben wurden mit einem 300 HV Rasterkraftmikroskop (Seiko, Tokio, Japan). FTIR-Spektren wurden mit einem Nicolet 550 Fourier-Transform-Infrarot-Spektrom-Pilder (Nicolet, Pohen wurden mit einem Nicolet 550 Fourier-Transform-Infrarot-Spektrom-Pilder (Nicolet, Madison, Wi, Wi, Wi, Wi, Wi, Wi, Willen Zahlbererch (Wirobo-2000) Seiko 1 aufgenommen . XI Tokio, Japan 20 CTIR-Spektren wurden mit einem Nicolet 550 Fourier-Transformations-Infrarotmessungen wurden Spektrometer (Nicolet, Madison, WI, USA) im Wellenzahlenbereich von 500-4000 cmÿ1. XPS Waltham, MA, USA), um Mischerstwirden wir einem Seitle Madison, WI, USA) im Wellenzahlenbereich von 500-4000 cmÿ1. XPS Waltham, MA, USA), um Mischerstwirden wir einem Seitle Madison von Proben 20 en int einer optischen Auflösung von 1 von Proben. Absorptionskurven wurden mit einem UV-Vis-Spektralphotometer gemessen (JASCO, 2.3. Experimente Tokio, Japan) mit einer optischen Auflösung von 1 nm im Bereich von 400-900 nm.

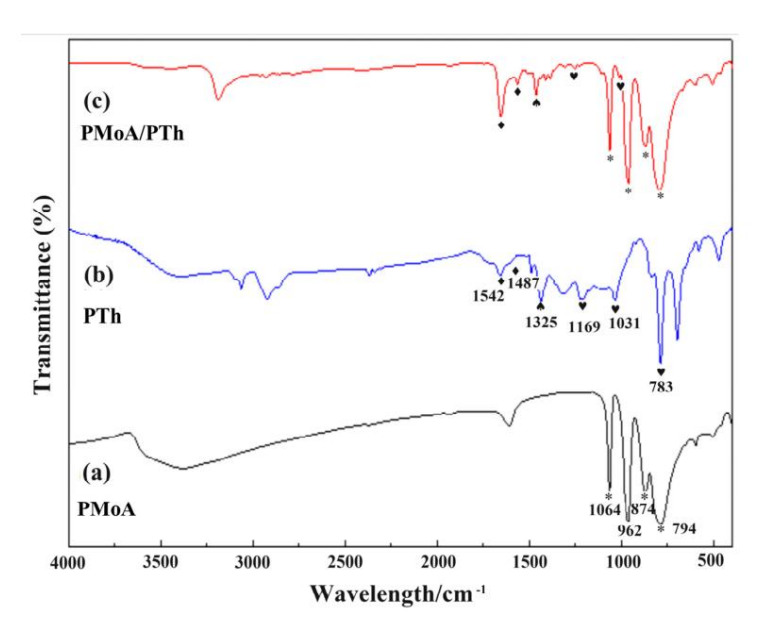
Photochrome Experimente wurden mit einer 300 W Xe-Lampe (PLS-SXE, Beijing) durchgeführt. Perfectlight Technology Co., Ltd., Beijing, China) mit einem UV-Filter (über 400 nm durchlassen Wellenlänge) als sichtbare Lichtquelle ohne andere Lichtquellen. Der Abstand zwischen Die Lampe und der Film wurden auf 150 mm eingestellt. Bestrahlungsversuche mit sichtbarem Licht wurden in der Luft durchgeführt, um eine Reihe von Absorptionskurven unter verschiedenen Bestrahlungsverhältnissen zu erhalten

Chemie 2024, 6

Photochrome Experimente wurden mit einer 300 W Xe-Lampe (PLS-SXE, Beijing Perfectlight Technology Co., Ltd., Peking, China) mit einem UV-Filter (über 400 nm Wellenlänge) als sichtbare Lichtquelle ohne andere Lichtquellen durchgeführt. Der Abstand zwischen der Lampe und dem Film 471 wurde auf 150 mm eingestellt. Experimente mit sichtbarer Lichtbestrahlung wurden in der Luft durchgeführt, um eine Reihe von Absorptionskurven bei unterschiedlichen Bestrahlungszeiten zu varhatterer Dann, wurde der Markundfilmion, Dunkeln aufbewahrt, μυρέψε Bleichgeiterezu beobachten . Dann und the state of the enterpression of the control o Reingemenatur durchgeführt. bei

33.EErggetdomissasse

Die FTTIR-Spektren von reinem PMoA, PTThurdPMoA/PTH-HybidtlihminBeetelchoro400-4000d10MQ cisinidi ainalibiidbaliduidaidadaanestalltaba haasaataaaaaabaza pitzi erabe chape chap discrete the tisphe has been politioned as the control of the cont und symmetrischen Streckschwingungen des Polythiophenrings. Der charakteristische Absorptionspeakuri dezassyidtwisseakibeststoryhwingungsleanfolyttiophenrings Polythiophenring, und der Absorptionspeak bei 1031 cmÿ1 und 1169 cmÿ1 wird der Biegeschwingung in due Ebenesde เพลิปสมัยสามารถสามารถสมัยสามารถสมัยสามารถสมัยสามารถสมัยสามารถสมัยสามารถสมัยสามารถสมัยสามารถสมัยสา Absarntignassek peivirð cen bleyeschari Rjangsabwing una cangerbe behæne ges Gillebied una zugeschrieben. QOUBMOON SIGNEEN WAS LARGER WILL ARE THE STATE OF THE SECOND OF THE SECOND SECO iviakti kndvibi idmridilm zietstæriziëd die dele gersertiiste istrakti voor bii ib waverbundiim weiterhin erhalterbundfilm.



Additional PMoA/PTh-Hybridiilm.

Im Spekktrum von Phrodipties viet typische Bänder bei 17664, 962, 874 und 794 794 cm 1, dingen aehveingungshändesbände yn Dona) (pulla, Dehveingungsbandesbande yn Dona) (pulla, Dehveingungsbandesbandesbande) und y (Mo-Oc-Mo) entsprechen, die denen von reinem PMoA ähnlich sind und nur einige Verschiebungen aufweisen. Es zeigt dass die Keggin-Geometrie von PMoA im Verbundfilm erhalten bleibt. Die dass die Keggin-Geometrie von PMoA im Verbundfilm erhalten bleibt. Die Infrarot- Infrarot-Wellenlänge

dass die Keggin-Geometrie von PMoA im Verbundfilm erhalten bleibt. Die Infrarot-Infrarot-Wellenlange von PMoA im Verbundfilm wird aufgrund der verstärkten Coulomb- Wechselwirkung zwischen PMoA im Verbundfilm wird aufgrund der verstärkten Coulomb- Wechselwirkung zwischen PMoA und Polymersubstrat und es kommt zur Ladungsübertragung. Wechselwirkung zwischen PMoA und Polymersubstrat, und es kommt zum Ladungsübertragung. Wechselwirkung zwischen PMoA und Polymersubstrat, und es kommt zum Ladungsübertragung. AFM-Bilder (Abbildung 3) zeigen die Oberflächenmorphologie von reinem PTh- und PMoA/PTh- AFM-Bilder (Abbildung 3) zeigen die Oberflächenmorphologie von reinem PTh- und PMoA/PTh- Hybridfilmen vor und nach der Bestfahlung mit sichtbarem Licht. Der PTh-Film (Abbildung 3a) zeigt die Hybridfilme vor und nach der Bestfahlung mit sichtbarem Licht. Der PTh-Film (Abbildung 3a) zeigt die spitzenförmige Struktur mit ähnlicher Partikelgröße und dem quadratischen Mittelwert der Rauheit (RMS). geformte Struktur mit ähnlicher Partikelgröße und der quadratische Mittelwert der Rauheit (RMS). Wie in Abbildung 3b,c gezeigt, änderte sich die Morphologie des Films offensichtlich nach der 7 nm. Wie in Abbildung 3b,c gezeigt, änderte sich die Morphologie des Films anch der Kombination von 7 nm. Wie in Abbildung 3b,c gezeigt, änderte sich die Morphologie des Films nach der Kombination von PTh und PMoA deutlich; der RMS von PMoA/PTh-Hybridfilmen betrug 18 nm (im Vergleich Kombination von PTh und PMoA: der RMS von PMoA/PTh-Hybridfilmen betrug 18 nm (verglichen mit 7 nm für PTh). Man kann davon ausgehen, dass die Wechselwirkung von Wasserstoffbrücken zwischen PTh

Polymerketten werden durch die Einwirkung von PMoA-Partikeln unter der Wechselwirkung Kraft der Wasserstoffbrücken zwischen PMoA- und PTh-Polymerketten. Nach optischer Beleuchtung erhöhte sich der RMS von PMoA/PTh-Kompositfilmen von 18 auf 31 nm, was zeigte die Bildung von Heteropolyblau in der Photoreduktionsreaktion und dem Protonentransfer vergrößerte den Raumwinkel des PTh-Polymers.

PMoA/PTh-Kompositfilme stieg von 18 auf 31 nm, was auf die Bildung von Heteropolyblau in der Photoreduktionsreaktion und die Protonenübertragung hindeutete, die den Raumwinkel des PTh-Polymers vergrößerte.

Chemie **2024**, 6 472

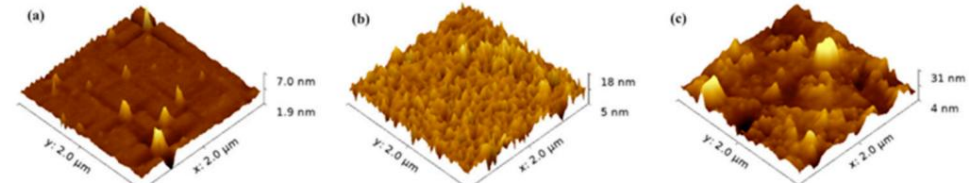


Abbildung 3. AFM-Bilder von (a) reinen PTh- und PMoA/PTh-Verbundfilmen (b) vor und (c) nach der Bestrahlung mit sichtbarem Licht.

Abbildung 3. AFM-Bilder von **(a)** reinen PTh- und PMoA/PTh-Verbundfilmen **(b)** vor und **(c)** nach sichtbarer Lichtbestrahlung.

Sorptions geskring as ship and hich the more also per als

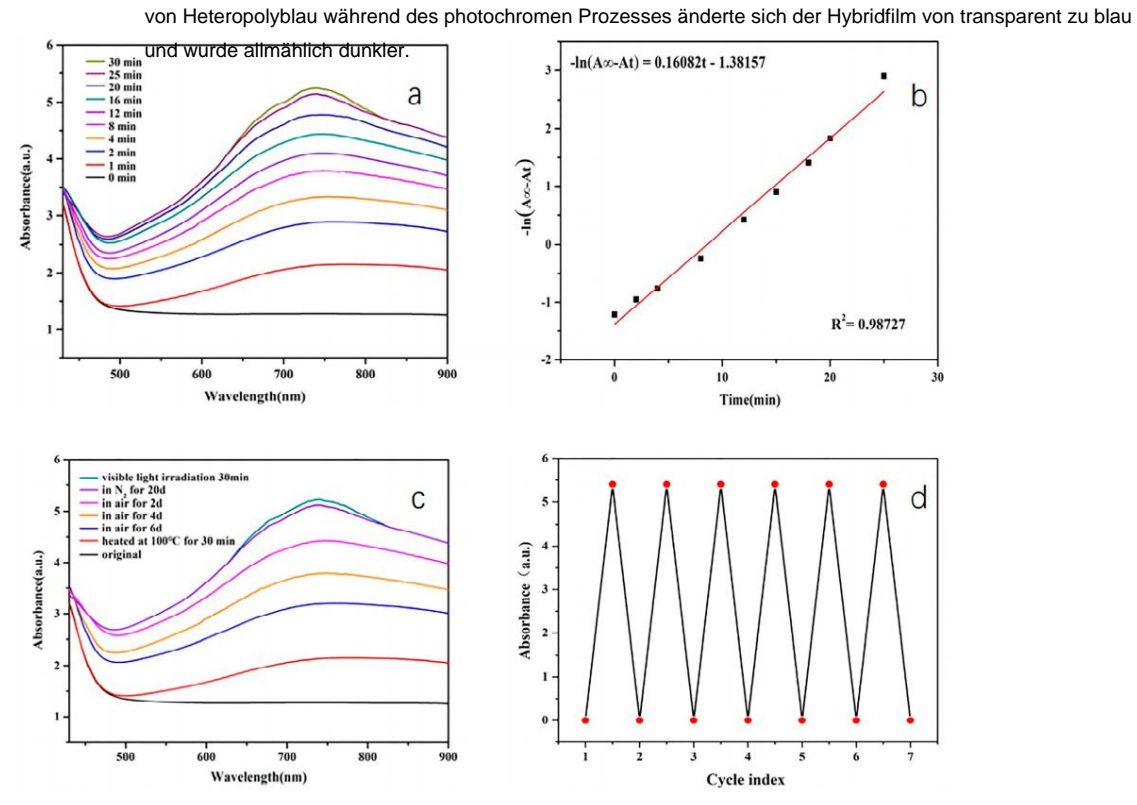


Abbildung 4. (a) UV-Vis-Absorptionsspektren von PMoA/PTh mit unterschiedlicher Bestrahlungsdauer in der Färbung Prozess, (b) Kinetische Darstellung des photochromen Prozesses erster Ordnung des PMoA/PTh-Films, (c) UV-Vis Absorptionsspektren von PMoA/PTh unter verschiedenen Bedingungen im Entfärbungsprozess, (d) Die Reversibilität des Farbzyklus des PMoA/PTh-Films.

Der kinetische Prozess der Färbung von PMoA/PTh bei 740 nm wurde weiter analysiert (Abbildung 4b). Es zeigt sich, dass der photochrome Prozess die folgende erste Ordnung erfüllt kinetische Gleichung:

$$\ddot{y}\ln(A\ddot{y}\ddot{y}At) = kt + b$$

wobei Aÿ der Absorptionswert bei Sättigung ist; At der Absorptionswert bei verschiedenen Bestrahlungszeiten während des Färbungsprozesses; k ist die Geschwindigkeitskonstante. Die Geschwindigkeitskonstante k des Färbeprozesses beträgt 0,16 minÿ1 , was auf die Vorteile von Verbundfolien in der photochrome Reaktion.

PMoA/PTh-Verbundfolie

Chemie **2024**, 6 473

In Abbildung 4c wurde der Verblassungsprozess des PMoA/PTh-Hybridfilms dargestellt.

Der PMoA/PTh-Hybridfilm würde in die Luft gelegt, die Farbe würde allmählich verblassen, aber wenn

Der Hybridfilm wurde 20 Tage lang in eine N2- Atmosphäre gelegt, die Farbe des Verbundfilms würde nicht verblassen. Dieses Phänomen deutete darauf hin, dass Sauerstoff eine Schlüsselrolle bei der Förderung der Verfärbung des Hybridfilms. Es wurde auch festgestellt, dass Erhitzung das Verblassen beschleunigen kann Prozess, da die Absorption um 80 % abnahm, als der Film bei 373 K erhitzt wurde für 30 Minuten.

Die Färbungs-Entfärbungszyklus-Experimente wurden durchgeführt, um die Reversibilität des PMoA/PTh-Hybridfilms. Nach Bestrahlung mit sichtbarem Licht, um die Sättigungsabsorption zu erreichen , konnte der Film durch Wärmebehandlung wiederverwendet werden. Wie in Abbildung 4d gezeigt, Es gab nur eine geringe Veränderung der Absorption nach 7-maligem Recycling, was zeigt, dass Der PMoA/PTh-Hybridfilm wies günstige photochrome Eigenschaften auf und war hochstabil und gute Reversibilität des photochromen Films [13].

Wie in Tabelle 1 gezeigt, wies der PMoA/PTh-Hybridfilm im Vergleich zu den anderen repräsentativen Proben eine hohe maximale Absorption auf, was darauf hindeutet, dass der Protonierungseffekt von PMoA gegenüber PTh im PMoA/PTh-Hybriddünnfilm die

maximale Absorption und verbesserte die photochromen Eigenschaften des PMoA/PTh Hybridfilm.

Photochromes Material	Die Dicke der Proben Die maximale Absorption		Referenz
PMoA/PANI Hybridisierende Dünnschicht	1,8 μm	3,46	[10]
ZnO/PMoA	-	0,21	[14]
WO3 -x QDs	-	2,75	[15]
PVP/HTA-Hybriden	-	0,78	[16]
CsPbBr3-Quantenpunktfilme	-	0,78	[17]
PMoA/ZnO/PVP-Verbundfolie	-	0,32	[18]
Aromatische Sulfoniumoctamolybdate	fester Zustand	3.2	[19]

2,0 µm

Photoreduktionsreaktion.

Tabelle 1. Vergleich der maximalen Absorption von photochromen Materialien.

Um die Veränderung der chemischen Mikroumgebung im Prozess der Photochromie weiter zu analysieren, XPS-Spektren von Mo 3d für den PMoA/PTh-Hybridfilm ohne und mit Bestrahlung sind in Abbildung 5 und Tabelle 2 dargestellt. Für den PMoA/PTh-Hybridfilm ist die Peaks traten bei 232,9 eV und 236,0 eV auf, die 3d3/2 bzw. 3d5/2 von Mo6+ zugeordnet wurden . und die Peaks bei 235,5 eV und 231,8 eV wurden 3d3/2 und 3d5/2 von Mo5+ zugeordnet ., Das Auftreten der charakteristischen Peaks von Mo5+ kann hier wie folgt gefolgert werden : Röntgenanregung. Nach der Bestrahlung verschieben sich die Peaks von Mo6+ auf 233,0 eV und 236,2 eV und Die Peaks von Mo5+ liegen bei 231,7 eV und 235,0 eV. Im Vergleich zum Spektrum vor Bestrahlung erhöht sich die Bindungsenergie von 3d von Mo6+ , und auch der Anteil von Mo5+ von 0,09 auf 0,33, was auf die Umwandlung von Mo6+ in Mo5+ zurückzuführen ist. Es kann schlussfolgerten, dass sich die chemische Mikroumgebung der Mo-Atome durch die

5.27

Diese Arbeit

Tabelle 2. Bindungsenergien des Mo3d-Energieniveaus und Mo5+/Mo -Verhältnisse des PMoA/PTh-Hybridfilms vor und nach der Beleuchtung.

Probe	Mo5+		Mo6+		_ Mo5+/Mo- Verhältnisse
	3W3/2	3W5/2	3W3/2	3W5/2	= mos+/mo- vernalinisse
Vor	231,8	235,5	232,9	236,0	0,09
Nach	231,7	235,0	233,0	236.2	0,33

0,09 bis 0,33, was auf die Umwandlung von Mo6+ in Mo5+ zurückzuführen ist. Daraus kann geschlossen werden, dass Die chemische Mikroumgebung der Mo-Atome wurde durch die Photoreduktion verändert

Chemie 2024, 6 Reaktion 474

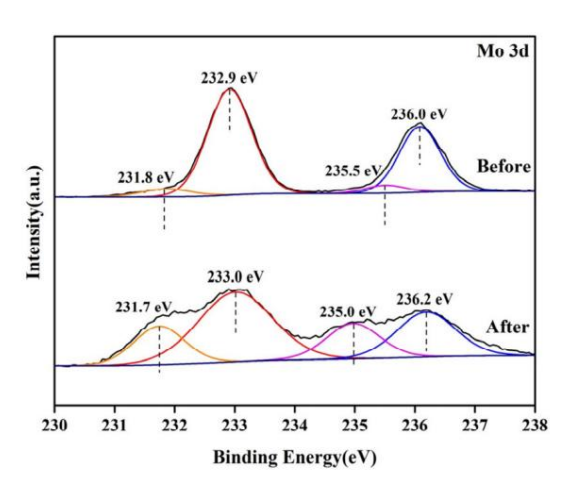


Abbildung 5. XPS-Spektren Mo 3d für PMoA/PTh-Hybridfilm ohne und mit Bestrahlung.

Um das obige photochrome Verhalten zu erklären, wurde der Mechanismus des Hybridfilms Tabelle 2. Bindungsenergien des Mosd-Energieniveaus und Most-/Mo-Verhältnisse des PMoA/PTh-Hybridfilms vor und nach den teils ughten Die photochromen Eigenschaften der anorganisch/organischen Hybridfilme in diesem

Papier hängt hauptsächlich von den Wechselwirkungen zwischen anorganischen und organischen Komponenten ab.

Probe Metallionen in den oxidierten Polyoxometallaten haben eine d0- Elektronenkonfiguration. Daher
3w3/2
3w5/2
3w

Nach 233,0,0,33,33,231 (LMCT). DadŽižth wurden die Elektronen- und Löchladungen getrennt, was zu

Voraussetzung für eine stabile Färbung des Verbundfilms. Das Loch, das am Sauerstoffatom zurückbleibt Um dait obiehtbindernderne Elektromediärann Schwefeldtorim des PTNhriditeragiert. Dabei wird das Mo6+ untersuchtArian Notaciae ១៣ភា ក៏មេនាទី នៃក្នុងតែកា កិច្ចបានមេនា, រស់សមានការក្នុងទៅស្រប់ទៀបនេះ ទាំកន្លានភាពen. Wenn das Bleichmittel Papier hängt hauntsächlich von den Wehselwirkungen zwischen 1910 54 - Atom und og zu Saber Kongrenenter übertragen unter

Metallionen in den exidiarren Polyexometallaten baten divektrenankanfigurationen worden. Die niederenergetischen Bektropen der Zeschinde des Saunstoff werden in sinus des Printischer Austrychten Med 1980 bei der Saunstoff werden in sinus des Printischer Austrychten des Saunstoff werden in sinus des Printischer Australia dÿOrbitale.bei Bestrahlung, die sogenannte SauerstoffÿzuÿMetall (OÿM) LigandÿzuÿMetall in Abbildung o. Aufgrund der Protonierung verringerte sich die Elektronendichte von PMoA während der

Chemistry 2024, 6, FOR PEER REVIEW Wechselwirkung mit PTh, wodurch die Selektronen- und Lochladungen getrennt, was zu einer 7

Chemistry 2024, 6, FOR PEER REVIEW Wechselwirkung mit PTh, wodurch die spektrale Rotverschiebung verursacht wurde, die die Existenz von 7

Voraussertung für eine stabile Färbung des Verbundfilms, Pas Loch, das am Sauerstoffstom zurückbleibt Grenzflächen innteraktion zwischen PMoA und PTh. Nach Belichtung wird die Heteropolysäure mit nichtbindenden Elektronen am Schwefelatom von PTh interagierte. Dabei wurde das Mo6+ 2U Heteropolblau reduziert und die Protonen werden auf PMoA übertragen. Atom wurde zum Mo5+ Atom reduziert, wodurch Heteropolyblaus entstanden. Wenn das Bleichmittel

Prozess fand statt, ein Elektron wurde vom Mo5+ -Atom auf das Sauerstoffmolekül übertragen, und

unter aeroben Bedingungen, so dass die Polyoxometallate oxidiert wurden. Mo(VI) Das Diagramm des photochromen Mechanismus des PMoA/PTh-Hybridfilms ist in

Abbildung 6. Aufgrund der Protonierung verringerte sich die Elektronendichte von PMoA während der Wechselwirkung mit PTh, was die spektrale Rotverschiebung verursachte, die die Existenz der Grenzfläche bestätigte Wechselwirkung zwischen PMoA und PTh. Nach Belichtung wird die Heteropolysäure reduziert

zu Heteropolblau und die Protonen werden auf PMoA übertragen.

(b)

A&BRUGHES 5-DESTRIBUTATIONS OF THE TRANSPORT OF THE TRANS nathdeachdrononinguegueguba/eth/Ritholadrunqtijrodc)nor(dunch(d) darde Bestrahlung rithrichtharenn Licht.

(d)

4. Schlussfolgerung 4. Schlussfolgerung

Die photochromen PMoA/PTh-Materialien wurden hergestellt, indem man das Hybrid Die photochromen PMoA/PTh-Materialien wurden hergestellt, indem die hybride Lösung auf das Substrat getropft wurde, um einen Film zu bilden. Die Geometrien von PMoA und PTh waren gut lution, auf dem Substrat, um einen Film zu bilden. Die Geometrien von PMoA und PTh waren laut FTIR-Spektren im Hybridfilm gut erhalten. Bei der Bestrahlung wurden die Protonen in in Hybridfilm gemäß FTIR-Spektren serviert. Bei der Bestrahlung werden die Protonen im organischen Polymer angeregt und über eine Ladungstransferbrucke auf PMoA übertragen. organisches Polymer wird angeregt und über eine Ladungstransferbrücke auf PMoA übertragen. Heteropolyblau wurde in einer Priotoreduktionsreaktion erzeugt, die von der Anderung von Polyblau wurde in einer Photoreduktionsreaktion erzeugt, die von einer Anderung der chemischen Mikroumgebung begleitet wurde. Der Bleichprozess erfolgte, als Mo5+ - Atome oxidiert wurden. chemische Mikroumgebung. Der Bleichprozess erfolgte als Mo5+. Atome in Gegenwart von Sauerstoff zu Mo6+ - Atomen exidien wurden. Darüber ninaus war der Hybridfilm von gunstiger zu Mo6+ -Atomen in Gegenwart von Sauerstoff. Darüber hinaus wies der Hybridfilm eine günstige Reversibilität und Stabilität auf. Der Protonierungsprozess zwischen PMoA und der PTh-Matrix wurde als Hauptursache der photochemischen Reaktion angesehen.

Autorenbeiträge: WZ hat zur allgemeinen Organisation aller Experimente beigetragen und den Originalentwurf verfasst. HZ (Hongmei Zhao) hat zu Experimenten zu photochromen Eigenschaften beigetragen.

Chemie **2024**, 6 475

Reversibilität und Stabilität. Der Protonierungsprozess zwischen PMoA und der PTh-Matrix wurde als Hauptursache der photochemischen Reaktion angesehen.

Autorenbeiträge: WZ hat zur allgemeinen Organisation aller Experimente und zur Erstellung des ursprünglichen Entwurfs beigetragen. HZ (Hongmei Zhao) hat zu Experimenten mit photochromen Eigenschaften, zur Datenanalyse und -visualisierung beigetragen. WF hat zur Probenvorbereitung und -charakterisierung beigetragen. HZ (Honggang Zhao) hat Ideen für alle Experimente, die Methodik und die Betreuung beigesteuert. Alle Autoren haben die veröffentlichte Version des Manuskripts gelesen und stimmen ihr zu.

Finanzierung: Diese Forschung erhielt keine externe Finanzierung.

Datenverfügbarkeitserklärung: Die Daten sind im Artikel enthalten.

Interessenkonflikte: Die Autoren erklären, dass keine Interessenkonflikte bestehen.

Verweise

- 1. Qin, B.; Chen, HY; Liang, H.; Fu, L.; Liu, X.; Qiu, X.; Liu, S.; Song, R.; Tang, Z. Reversible photoschaltbare Fluoreszenz in dünnen Filmen aus anorganischen Nanopartikeln und Polyoxometallat-Anordnungen. J. Am. Chem. Soc. **2010**, 132, 2886–2888. [CrossRef] [PubMed]
- 2. Gu, HX; Bi, LH; Fu, Y.; Wang, N.; Liu, S.; Tang, Z. Mehrstufiges elektrisch gesteuertes Photolumineszenzschalten. Chem. Wissenschaften. **2013**, 4, 4371–4377. [CrossRef]
- 3. Lu, J.; Zhang, X.; Ma, P.; Singh, V.; Zhang, C.; Niu, J.; Wang, J. Photochromes Verhalten eines neuen Polyoxomolybdats/Alkylamins Verbundwerkstoffe im Festkörper. J. Mater. Sci. 2018, 53, 3078–3086. [CrossRef]
- 4. Graca, VC; Sousa, CM; Coelho, P. Auf dem Weg zur Graufärbung photochromer Materialien mit Vinylidennaphthofuranen. Farbstoff. Pigment. **2020,** 176. [CrossRef]
- 5. Bao, HF; Wang, XY; Yang, GQ; Li, H.; Zhang, F.; Feng, W. UV-Licht und sichtbares Licht Photochromie von anorganisch-organischen Mehrschichtfilme auf Basis von Polyoxometallat und Poly(acrylamid). Colloid Polym. Sci. **2014**, 292, 2883–2889. [CrossRef]
- Jing, XF; Zou, DL; Meng, QQ; Zhang, W.; Zhang, F.; Feng, W.; Han, X. Herstellung und sichtbares Licht-Photochromie eines neuartigen hybriden anorganisch-organischen Films auf Basis von Polyoxometallaten und Ethylcellulose. Inorg. Chem. Commun. **2014**, 46, 149–154. [CrossRef]
- $7.\ Zhang,\ J.;\ Zou,\ Q.;\ Tian,\ H.\ Photochrome\ Materialien:\ Mehr\ als\ man\ auf\ den\ ersten\ Blick\ sieht.\ Adv.\ Mater.\ \textbf{2013},\ 25,\ 378-399.\ [CrossRef]\ [PubMed]\ 8.$
 - Toshihiro, Y. Photo- und Elektrochromie von Polyoxometallaten und verwandten Materialien. Chem. Rev. 1998, 98, 307–326.
- 9. Chen, J.; MeiAi, L.; Feng, W.; Xiong, DQ; Liu, Y.; Cai, WM Herstellung und Photochromie von Nanokomposit-Dünnfilmen auf Basis über Polyoxometallate und Polyethylenglykol. Mater. Lett. 2007, 61, 5247–5249. [CrossRef]
- 10. Zeng, OR; Guo, SY; Sun, YB; Li, Z.; Feng, W. Durch Protonierung induzierte verbesserte optische photochrome Eigenschaften eines anorganisch-organischen Phosphomolybdänsäure/Polyanilin-Hybrid-Dünnfilms. Nanomaterials 2020, 10, 1839. [CrossRef] [PubMed]
- 11. Lu, C.; Sun, Y.; Liu, JL; Wang, X.; Liu, SL; Feng, W. Verbesserte Photochromie des Heteropolysäure/Polyvinylpyrrolidon-Komposits Film durch TiO2- Dotierung. J. Appl. Polym. Sci. 2015, 132, 41583. [CrossRef]
- 12. Sun, Y.; Wang, X.; Lu, Y.; Xuan, L.; Xia, S.; Feng, W.; Han, X. Herstellung und Photochromie von Phosphormolybdän Säure/Polyvinylpyrrolidon-Hybridfilm. Chem. Res. Chin. Univ. **2014**, 30, 703–708. [CrossRef]
- 13. Wei, Y.; Han, B.; Dong, Z.; Feng, W. Mit Phosphormolybdänsäure modifizierte hochorganisierte TiO2- Nanoröhren-Arrays mit schneller photochromer Leistung. J. Mater. Sci. Technol. **2019**, 35, 1951–1958. [CrossRef]
- 14. Yue, T.; Han, B.; Wang, X.; Bai, L.; Feng, W. Sofortige photochrome Leistung von Verbundpulvern im sichtbaren Licht basierend über PMoA und ZnO-Nanoröhren. Chem. Lett. **2019**, 48, 851–854. [CrossRef]
- Liu Qi Hu Ch Wang, X. Hydrothermale Synthese von sauerstoffarmen Wolframoxid-Quantenpunkten mit ausgezeichneter photochromer Reversibilität. Appl. Surf. Sci. 2019, 480, 404–409.
- 16. Li, D.; Wei, J.; Dong, S.; Li, H.; Xia, Y.; Jiao, X.; Wang, T.; Chen, D. Neue PVP/HTA-Hybride für multifunktionales wiederbeschreibbares Papier. ACS Appl. Mater. Interfaces 2018, 10, 1701–1706. [CrossRef] [PubMed]
- 17. Qaid, SM; Alharbi, FH; Bedja, I.; Nazeeruddin, MK; Aldwayyan, AS Reduzierung der verstärkten spontanen Emissionsschwelle in CsPbBr3-Quantenpunktfilmen durch Kontrolle der kompakten TiO2-Schicht. Nanomaterials 2020, 10, 1605. [CrossRef] [PubMed]
- 18. Song, T.; Li, J.; Deng, Q.; Gao, Y. Herstellung, Charakterisierung, photochrome Eigenschaften und Mechanismus des PMoA/ZnO/PVP- Verbundfilms. Molecules 2023. 28. 7605. [CrossRef] [PubMed]
- Kumar, A.; Gupta, AK; Devi, M.; Gonsalves, KE; Pradeep, CP Engineering Multifunctionality in Hybrid Polyoxometalates: Aromatische Sulfoniumoctamolybdate als ausgezeichnete photochrome Materialien und selbsttrennende Katalysatoren für die Epoxidierung. Inorg.
 Chem. 2017, 56, 10325–10336. [CrossRef] [PubMed]

Haftungsausschluss/Anmerkung des Herausgebers: Die in allen Veröffentlichungen enthaltenen Aussagen, Meinungen und Daten sind ausschließlich die der einzelnen Autoren und Mitwirkenden und nicht die von MDPI und/oder den Herausgebern. MDPI und/oder die Herausgeber lehnen jegliche Verantwortung für Personen- oder Sachschäden ab, die aus den im Inhalt erwähnten Ideen, Methoden, Anweisungen oder Produkten resultieren.